

牦牛 α -乳白蛋白基因单核苷酸多态性分析

崔艳华¹, 曹 喻¹, 曲晓军², 李海梅¹, 董爱军¹, 马 莺¹

(1. 哈尔滨工业大学 食品科学与工程学院, 150090 哈尔滨; 2. 黑龙江省科学院微生物研究所, 150010 哈尔滨)

摘要: 为明确牦牛乳中 α -乳白蛋白遗传多样性, 以 α -乳白蛋白基因(*LAA*)的I、II、III和IV外显子为研究对象, 采用聚合酶链反应-单链构象多态性(PCR-SSCP)方法对麦洼牦牛的*LAA*进行分析, 旨在从分子水平揭示*LAA*在牦牛乳中遗传多样性分布。牛属不同来源的 α -乳白蛋白基因的编码序列被用于构建系统发育树。结果表明, 牦牛乳中 *LAA* I外显子区域以杂合体形式存在, 并发现了一个新变异体 JN084189。不同来源 *LAA* 的系统发育树分析表明, *LAA* 在进化上存在一定的物种特异性。

关键词: 牦牛乳; α -乳白蛋白; 遗传多样性; 聚合酶链反应-单链构象多态性

中图分类号: Q52 文献标志码: A 文章编号: 0367-6234(2012)06-0092-05

A single nucleotide polymorphism and sequence analysis of α -lactalbumin gene (*LAA*) in Chinese *Bos grunniens* (yak)

CUI Yan-hua¹, CAO Yu¹, QU Xiao-jun², LI Hai-mei¹, DONG Ai-jun¹, MA Ying¹

(1. School of Food Science and Engineering, Harbin Institute of Technology, 150090 Harbin, China;

2. Institute of Microbiology, Heilongjiang Science Academy, 150010 Harbin, China)

Abstract: A polymorphism of α -lactalbumin gene *LAA* exon I, II, III, and IV has been identified by PCR-single strand conformation polymorphism protocol to reveal the distribution of diversity of α -lactalbumin in Maiwa yak at the molecular level. The sequences corresponding to the coding region of α -lactalbumin gene were used for phylogenetic analysis to establish the phylogenetic relationship of *LAA* variants in the *Bos* genus. Experimental results indicated that most yak milks were with hybrid genotype in exon I of α -lactalbumin. A new variant had been identified in Maiwa yak breed by resquencing analysis and entered into GenBank with accession number JN084189. The phylogenetic analysis presented α -lactalbumin evolution consistent with species at a degree.

Key words: yak milk; α -lactalbumin; polymorphism; PCR-SSCP

牛乳蛋白中主要包含两大类蛋白, 即酪蛋白和乳清蛋白。其中乳清蛋白占总蛋白的 12%~14%, 包括 α -乳白蛋白(α -LA)、 β -球蛋白(β -LG)、血清白蛋白(SA)、免疫球蛋白(Ig)和乳铁蛋白(LF)^[1-2]。由于氨基酸的置换或缺失、磷酸化位点不同、糖基化差异等造成了牛乳蛋白存在着遗传变异数。研究表明, 某些乳蛋白遗传变异数与产乳量、乳组成、干酪产量等重要性状密切相关, 因此, 乳蛋白多样性研究引起了广泛关注^[1-3]。

收稿日期: 2011-06-05。

基金项目: 国家自然科学基金资助项目(30871953; 31071571)。

作者简介: 崔艳华(1978—), 女, 博士, 副教授;

马 莺(1961—), 女, 教授, 博士生导师。

通信作者: 马 莺, maying@hit.edu.cn。

α -LA 占牛乳中乳清蛋白的 5% (质量分数), 由 *LAA* 基因编码^[4]。 α -LA 基因(*LAA*)全长2 kb, 包括4个外显子和3个内含子, 定位于牛基因组的第5号染色体上^[5]。研究表明, 在牛乳中, α -LA 不仅作为牛乳蛋白中的一部分存在, 还对乳糖的生成及牛乳的分泌起调控作用^[6-7]。同时, α -LA 具有抗菌活性, 并激活粘液代谢, 具有保护胃肠道免受病原菌侵袭的作用^[7]。现已在不同来源的牛乳中发现了3种 α -LA 的变异数, 即变异数 A、B 和 C^[3]。目前, 对于牦牛 α -LA 研究主要集中在蛋白质水平, 分子水平研究鲜有报道, 遗传多样性分子水平研究未见报道^[8]。本研究以 *LAA* 的 I、II、III 和 IV 外显子为研究对象, 采用 PCR-SSCP 方法分析了牦牛乳 *LAA* 的遗传多样性。并

采用生物信息学方法对现有不同来源 α -LA 变异体进行分析, 建立系统发育树, 旨在揭示其多样性的分布及进化。

1 实验

1.1 牦牛乳

34 份牦牛乳取自四川红原麦洼牦牛。取样后加入叠氮化钠 (NaN_3 , 0.4 g/L) 防止蛋白沉淀, 存于 -20 °C。

1.2 试剂

蔗糖、Tris 碱、硼酸、盐酸、氯化镁、Triton-X-100、氯化钠、乙二胺四乙酸二钠盐、异丙醇、无水乙醇、丙烯酰胺、甲叉双丙烯酰胺、N,N,N',N'-四甲基乙二胺、过硫酸铵等均为分析纯, 购自北京试剂公司。蛋白酶 K 购自 TAKARA 公司。KOD-Plus-DNA

聚合酶、Target cloneTM-plus kit 购自东洋纺(上海)生物科技有限公司。引物由上海生工合成。

1.3 主要仪器

高速冷冻离心机(Biofuge Stratos, Heraeus)、电泳仪(BioRad)、通用突变检测系统(DCodeTM, BioRad)、凝胶成像系统(BioRad)、PCR 仪(TAKARA 公司)。

1.4 牦牛乳 DNA 的提取

采用常规离心法提取牦牛乳中体细胞。以乳体细胞为材料, 提取牦牛基因组 DNA, 方法见文献[9]。

1.5 引物以及 PCR-SSCP

根据牛 α -LA 基因(NCBI 序列号 X06366)的 I、II、III 和 IV 外显子区域设计引物 LAA-E1F 和 LAA-E1R、LAA-E2F 和 LAA-E2R、LAA-E3F 和 LAA-E3R、LAA-E4F 和 LAA-E4R, 分别用于扩增 α -LA 的 I、II、III 和 IV 外显子及内含子部分区域(见表 1)。

表 1 本研究所用引物

引物名称	引物序列 (5'-3')	对应位置 [#]	外显子位置 [#]	长度/bp	t_m /°C	PCR 反应 退火温度/°C	扩增片段 大小/bp
LAA-E1F	TGGATGTAAGGCTTGATG	664-680	Exon1	18	50.3	50.5	309
LAA-E1R	AAGAGGATGAAGAGAATGG	955-972	766-898	19	50.2		
LAA-E2F	AGATTGGTTGGAGAGCCT	1122-1138	Exon 2	18	53.6	52.0	392
LAA-E2R	GTATTATCAAGTCCCCACAGT	1495-1513	1220-1378	20	51.6		
LAA-E3F	CAGAAGGCAACAGGCATA	1737-1753	Exon3	18	53.9	52.0	369
LAA-E3R	GGAGTGAAGTAAGTGAAGC	2088-2105	1852-1927	19	52.1		
LAA-E4F	CTACATCCTAACGGCACGC	2203-2219	Exon4	18	54.2	53.0	316
LAA-E4R	GACAGAACGACCAAAGAC	2502-2518	2432-2489	18	53.1		

注:[#]为与 X06366 序列对应位置。

以提取的牦牛基因组 DNA 为模板, 分别以 LAA-E1F 和 LAA-E1R、LAA-E2F 和 LAA-E2R、LAA-E3F 和 LAA-E3R、LAA-E4F 和 LAA-E4R 为引物扩增 α -LA 的 I、II、III 和 IV 外显子区域以及部分内含子区域。

PCR 反应程序为 94 °C 2 min 预变性, 然后以 94 °C 15 s、退火 30 s、68 °C 25 s 为 1 个循环, 共进行 30 个循环, 之后 68 °C 延伸 7 min, 4 °C 保存。PCR 反应体系为: 10 × PCR buffer 2 μ L, dNTPs (2.5 mmol/L) 2 μ L, MgCl_2 (25 mmol/L) 0.8 μ L, 上下游引物 (10 μ mol/L) 各 1 μ L, KOD-Plus-DNA 聚合酶 2 U, DNA 10~50 ng, 用双蒸水补足体积至 20 μ L。取 5 μ L PCR 产物, 以 1.5% 琼脂糖凝胶进行电泳检测产物纯度。

10 μ L 的 PCR 产物用于 PCR-SSCP 分析。加入等体积的 2 × SSCP Gel Loading Dye (DCodeTM), 样品在 95 °C 反应 10 min 后迅速冰浴。点样于 20 cm × 20 cm、8% 聚丙烯酰胺凝胶(丙烯酰胺与双丙烯酰胺的质量比为 37.5:1)、15 °C、150 V 下

电泳 7 h。

1.6 克隆与测序

采用 Target cloneTM-plus kit 将 PCR 产物克隆到 pTA2 载体上。将筛选获得阳性克隆进行测序, 正反向同时测序。获得的序列信息提交至 GenBank, 序列号为 JN084188 (YAK1)、JN084189 (YAK2)。

1.7 牛属 α -乳白蛋白序列分析

LAA 基因核酸序列来自 NCBI 数据库(www.ncbi.nlm.nih.gov), 其中包括家牛 LAA 基因核酸序列 (*Bos taurus*, *Bos indicus*) AB052163、AB052164、AB052165、AB052166、AB052167、AF249896、X06366、EU200932、EU422984; 两个牦牛 (*Bos grunniens*) LAA 基因核酸序列 AF194372 和 GU562877; 6 个水牛 (*Bubalus bubalis*) LAA 基因核酸序列 EF408824、AY726609、AY726610、AY726611、AY726612、DQ785796。

α -LA 的 I、II、III 和 IV 外显子区域被用于构建系统进化分析。采用 CLUSTAL X 软件进行多

重序列比对^[10], TREECON 软件计算遗传距离, 并建立系统发育树^[11].

2 结果与分析

2.1 牦牛 α -LA 遗传多样性分析

2.1.1 PCR 扩增

以牦牛乳基因组 DNA 为模板, 分别以 LAA-E1F 和 LAA-E1R、LAA-E2F 和 LAA-E2R、LAA-E3F 和 LAA-E3R、LAA-E4F 和 LAA-E4R 为引物扩增 α -LA 的 I、II、III 和 IV 外显子以及部分内含子区域, 片段大小约分别为 300、400、400 和 300 bp(图 1), 与预期相符。为便于阐述, 将上述片段命名为 A、B、C、D 片段。

2.1.2 PCR-SSCP 分析与测序分析

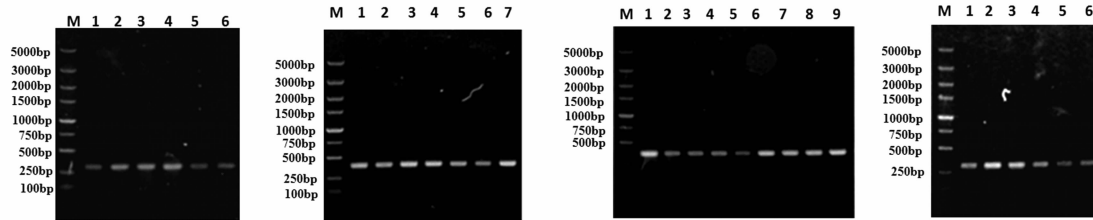
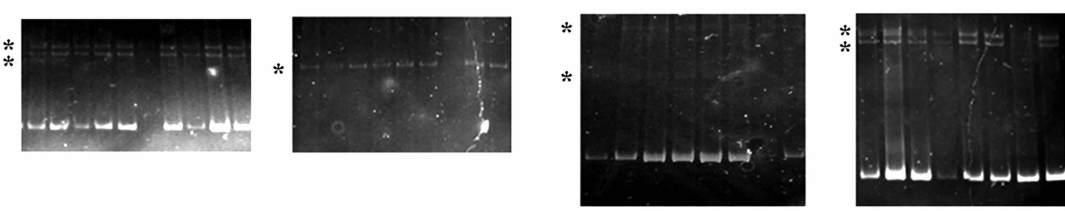


图 1 牦牛 α -乳白蛋白基因的I、II、III和IV外显子区域PCR分析
1—Marker DL2000 plus; 1~10—牦牛乳样品PCR产物.



(a) A 片段(含外显子 I) (b) B 片段(含外显子 II) (c) C 片段(含外显子 III) (d) D 片段(含外显子 IV)
* 表示单链核苷酸条带.

图 2 牦牛 α -乳白蛋白基因的 PCR-SSCP 分析

AB052163_E1	ATGATGTCTTTGTTCTCTGCTCCCTGGTGGCAACCTATTCATGCCACCCAGGCTGAACAGTTAACAAAATGTGAGGT	176
AB052165_E1	ATGATGTCTTTGTTCTCTGCTCCCTGGTGGCAACCTATTCATGCCACCCAGGCTGAACAGTTAACAAAATGTGAGGT	175
AB052166_E1	ATGATGTCTTTGTTCTCTGCTCCCTGGTGGCAACCTATTCATGCCACCCAGGCTGAACAGTTAACAAAATGTGAGGT	201
AB052167_E1	ATGATGTCTTTGTTCTCTGCTCCCTGGTGGCAACCTATTCATGCCACCCAGGCTGAACAGTTAACAAAATGTGAGGT	175
AF194372_E1	ATGATGTCTTTGTTCTCTGCTCCCTGGTGGCAACCTATTCATGCCACCCAGGCTGAACAGTTAACAAAATGTGAGGT	192
AF249896_E1	ATGATGTCTTTGTTCTCTGCTCCCTGGTGGCAACCTATTCATGCCACCCAGGCTGAACAGTTAACAAAATGTGAGGT	777
EU200932_E1	ATGATGTCTTTGTTCTCTGCTCCCTGGTGGCAACCTATTCATGCCACCCAGGCTGAACAGTTAACAAAATGTGAGGT	830
EU422984_E1	ATGATGTCTTTGTTCTCTGCTCCCTGGTGGCAACCTATTCATGCCACCCAGGCTGAACAGTTAACAAAATGTGAGGT	92
GU562877_E1	ATGATGTCTTTGTTCTCTGCTCCCTGGTGGCAACCTATTCATGCCACCCAGGCTGAACAGTTAACAAAATGTGAGGT	817
X06366_E1	ATGATGTCTTTGTTCTCTGCTCCCTGGTGGCAACCTATTCATGCCACCCAGGCTGAACAGTTAACAAAATGTGAGGT	95
YAK1_E1	ATGATGTCTTTGTTCTCTGCTCCCTGGTGGCAACCTATTCATGCCACCCAGGCTGAACAGTTAACAAAATGTGAGGT	845
YAK2_E1	ATGATGTCTTTGTTCTCTGCTCCCTGGTGGCAACCTATTCATGCCACCCAGGCTGAACAGTTAACAAAATGTGAGGT	80
Consensus	atgatgtctttgt tctctgtctccctggcaaccctatccatgcacccaggctgaaca ttacaaaatgtgaggt	80
AB052163_E1	GTCGGGGAGCTGAAAGACTTGAAAGGCTACGGAGGTGTCAGTTGCCTGAAT	229
AB052164_E1	GTCGGGGAGCTGAAAGACTTGAAAGGCTACGGAGGTGTCAGTTGCCTGAAT	228
AB052165_E1	GTCGGGGAGCTGAAAGACTTGAAAGGCTACGGAGGTGTCAGTTGCCTGAAT	254
AB052166_E1	GTCGGGGAGCTGAAAGACTTGAAAGGCTACGGAGGTGTCAGTTGCCTGAAT	228
AB052167_E1	GTCGGGGAGCTGAAAGACTTGAAAGGCTACGGAGGTGTCAGTTGCCTGAAT	245
AF194372_E1	GTCGGGGAGCTGAAAGACTTGAAAGGCTACGGAGGTGTCAGTTGCCTGAAT	830
AF249896_E1	GTCGGGGAGCTGAAAGACTTGAAAGGCTACGGAGGTGTCAGTTGCCTGAAT	883
EU200932_E1	GTCGGGGAGCTGAAAGACTTGAAAGGCTACGGAGGTGTCAGTTGCCTGAAT	145
EU422984_E1	GTCGGGGAGCTGAAAGACTTGAAAGGCTACGGAGGTGTCAGTTGCCTGAAT	870
GU562877_E1	GTCGGGGAGCTGAAAGACTTGAAAGGCTACGGAGGTGTCAGTTGCCTGAAT	147
X06366_E1	GTCGGGGAGCTGAAAGACTTGAAAGGCTACGGAGGTGTCAGTTGCCTGAAT	898
YAK1_E1	GTCGGGGAGCTGAAAGACTTGAAAGGCTACGGAGGTGTCAGTTGCCTGAAT	133
YAK2_E1	GTCGGGGAGCTGAAAGACTTGAAAGGCTACGGAGGTGTCAGTTGCCTGAAT	133
Consensus	gtccggggagctgaaagacttgaaagg ctacggagggtcgatggctgtat	

图 3 牦牛 α -乳白蛋白基因的外显子 I 序列比对图

以 LAA-E1F 和 LAA-E1R 引物, 扩增获得的 PCR 产物 A 片段(664–972, X06366 相应位置)包含了 α -乳白蛋白基因的外显子 I 区域(766–898)、信号肽区域(766–822)、内含子 I 部分区域(899–972)。在 34 个牦牛乳样品中, PCR-SSCP 分析均为杂合型(见图 2(a))。选 5 个样品与 pTA2 载体连接, 分别选取阳性克隆 10 个进行正反向测序。结果发现, 在内含子 I 区域无差异, 而信号肽区域(800)、外显子 I 区域(829)处存在差异(见图 3)。变异数 1 序列与目前已知牛属 α -乳白蛋白外显子 I 区域均存在差异, 为 1 个新变异数, 已提交 GenBank, 获得序列号 JN084189。变异数 2 与来自大多数其他来源的 α -乳白蛋白的外显子 I 区域 100% 同源。

以 LAA-E2F 和 LAA-E2R 引物, 扩增获得的 PCR 产物 B 片段 (1122 – 1513, X06366 相应位置) 包含了 α - 乳白蛋白基因的外显子 II 区域 (1220 – 1378) 和内含子 II 部分区域 (1379 – 1513). 在 34 个牦牛乳样品中, PCR-SSCP 分析无差异(见图 2(b)). 测序结果发现, 在内含子 II 部分区域和外显子 II 区域均无差异. 且外显子 II 与 GU562877 的外显子 II 的同源性为 100%.

以 LAA-E3F 和 LAA-E3R 引物, 扩增获得的 PCR 产物 C 片段 (1737 – 2105, X06366 相应位置) 包含了 α - 乳白蛋白基因的外显子 III 区域 (1852 – 1927) 和内含子 II 部分区域 (1928 – 2105). 在 34 个牦牛乳样品中, PCR-SSCP 分析均为杂合型(见图 2(c)). 测序分析表明, 内含子 II 区域含有 1 个碱基差异(即 1985 位置为 A 或者 G, X06366 相应位置), 而外显子 III 区域无差异.

以 LAA-E4F 和 LAA-E4R 引物, 扩增获得的 PCR 产物 D 片段 (2203 – 2518, X06366 相应位置) 包含了 α - 乳白蛋白基因的外显子 IV 区域 (2432 – 2489) 和内含子 III 部分区域 (2203 –

2431). 在 34 个牦牛乳样品中, PCR-SSCP 分析均为杂合型(见图 2(d)). 测序结果发现在内含子 III 中存在 2 个碱基差异(即 2238 位置为 A 或者 G, 2276 位置为 G 或者 A, X06366 相应位置), 而外显子 IV 与 AF194372、GU562877 序列完全相同.

2.2 不同来源的 α -LA 遗传多样性和进化分析

来自牛属和水牛属, 包括 *Bos taurus*、*Bos indicus*、*Bos grunniens* 和 *Bubalus bubalis* 的 α -LA 外显子 I、II、III 和 IV 用于构建系统发育树, 进行聚类分析. 以来自山羊 (*Capra hircus*) 的 α - LA 基因 (LAA) 相应序列 (EF564266) 作为参比. 当前, 已命名 3 个 α - LA 变异体, 即 A、B、C. B 变异体最常见, 在瘤牛、欧洲牛中均有发现. 在爪哇野牛 (*Bos javanicus*) 中发现的 C 变异体, 与 B 变异体的差异在于某处谷氨酸 (Glu) 被谷氨酰胺 (Gln) 替代^[12]. 由于 C 变异体未有具体序列信息, 未用于聚类分析.

研究表明, 可划分为 4 个分支, 其中包括 1 个山羊的 α -LA 基因 (即 IV 组) 和 3 个主要序列分支 (I – III 组)(见图 4).

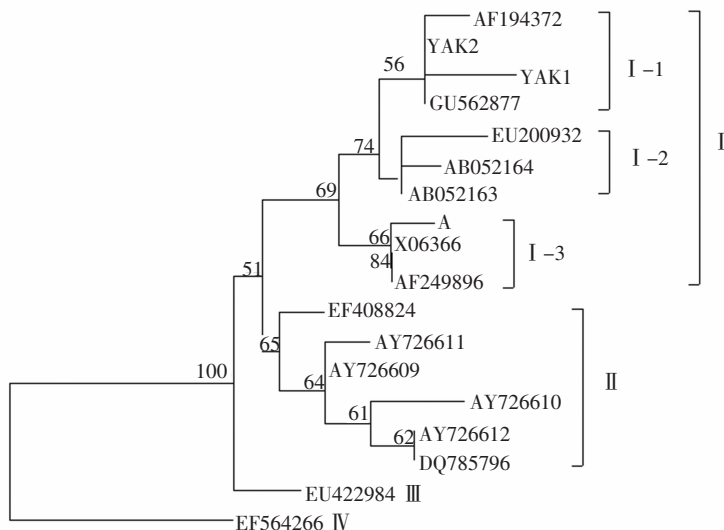


图 4 不同来源 LAA 编码序列的聚类图

第 I 组, 均来自牛属, 可分为 3 个亚组. I - 1 组包括变异体 AF194372、GU562877、YAK1 和 YAK2, 均来自牦牛. 本研究获得 YAK2 序列与 GU562877 同源性为 100%, 与 AF194372 相差 1 个碱基(见表 2). 而本研究发现的 YAK1 为一个新的变异体, 与 GU562877 相差两个碱基, 与 AF194372 相差 3 个碱基. I - 2 组包括 AB052164、AB05163、EU200932, 其中 AB052164、AB05163 相差 1 个碱基, 而 EU200932 与 AB05163 相差两个碱基, 与 AB052164 相差 3 个碱基. I - 3 组包括 A 变异体、X06366、

AF249896, 其中 X06366 和 AF249896 序列相同, 为 B 变异体. 当前发现大多数牛属 α -LA 均为 B 变异体, 与 A 变异体仅仅相差 1 个碱基. 因此, 推测以上变异体直接由 α -LA * B 进化而来.

第 II 组包括 EF408824、AY726609、AY726610、AY726611、AY726612、DQ785796, 均来自水牛 (*Bubalus bubalis*). 第 III 组 EU422984 独立构成 1 组. EU422984 来自瘤牛 (*Bos indicus*), 序列较为独特. 聚类分析表明, α -LA 基因呈现了明显的物种差异. 牦牛 α -LA 基因与来自家牛的 α -LA 基因存在显著的差异.

表 2 牛属 α -乳白蛋白基因变异数分布

变异数	变异位置 [#]														来源, 分布
	780	792	800	829	848	852	873	1231	1233	1335	1354	1377	2471	2485	
	5	9	12	21	28	29	36	49	49	83	90	97	136	141	
B (X06366)	C Val	A Leu	T Ile	G Gln	T Phe	G Arg	G Gly	G Ala	G Ala	C Asp	A Asn	C Asp	G Gln	A Lys	所有品种, 最为普遍 (较普遍)所有 <i>B. indicus</i> 品种, 某些 <i>B. taurus</i>
A						A His									
YAK1	G Leu	C Thr		C Leu			A Thr	G Thr	T Asp						<i>B. grunniens</i>
YAK2	G Leu						A Thr	G Thr	T Asp						<i>B. grunniens</i>
AF194372	G Leu						A Thr	G Thr	T Asp	G Asp					<i>B. grunniens</i>
GU562877	G Leu						A Thr	G Thr	T Asp						<i>B. grunniens</i>
AB052166	G Leu						A Thr	G Thr							<i>B. taurus</i>
AB052164	G Leu						A Thr	G Thr			A Gln				<i>B. taurus</i>
EU200932	T Val	G Leu					A Thr	G Thr				G Arg			<i>B. indicus</i>
EU422984	G Leu		A Gln		A Asp	A Thr	A Thr			T Asp					<i>B. indicus</i>

#—第 1 行为核酸序列位置; 第 2 行为氨基酸序列位置。氨基酸序列包括信号肽部分, 即为前体蛋白。加粗为差异位点。

3 结 论

1) 牦牛乳中 α -LA 的 I、III 和 IV 外显子区域的 PCR 片段呈现了相同的带型, 均具有两个单链片段, 表明多数以杂合体形式存在。而 II 外显子区域的 PCR 片段则为一个单链片段表明以纯合体形式存在。

2) 对 PCR 产物进行测序分析发现了一个新的变异数 JN084189, 该变异数与来自牦牛两个 AF194372、GU562877 在 I 外显子区域存在两个碱基差异, 最终导致在蛋白水平上存在两个氨基酸差异, 一处位于信号肽中。新变异数的发现为研究 α -LA 的进化提供了参考。

3) 来自不同来源, 包括 *Bos taurus*、*Bos indicus* 和 *Bos grunniens* 的 α -LA 基因序列系统发育分析发现 α -LA 在进化上存在一定的物种特异性。 α -LA 具有多种生理功能, 本研究将为 α -LA 变异数与生理功能之间的相互关系研究奠定基础。

参 考 文 献:

- [1] HECK J, SCHENNINK A, VALENBERG van H, et al. Effects of milk protein variants on the protein composition of bovine milk [J]. J Dairy Science, 2009, 92(3): 1192–1202.
- [2] 崔艳华, 马莺, 何胜华, 等. 牦牛乳酪蛋白遗传多态性研究 [J]. 中国乳品工业, 2010, 38(5): 32–37.
- [3] FARRELL H M, JIMENEZ-FLORES J R, BLECK G T, et al. Nomenclature of the proteins of cows' milk-sixth revision [J]. J Dairy Science, 2004, 87: 1641–1674.
- [4] MARTIN P, SZYMANOWSKA M, ZWIERZCHOWSKI
- [5] HAYES H, PETIT E. Mapping of the β -lactoglobulin gene and of an immunoglobulin M heavy chain-like sequence in homologous cattle, sheep, and goat chromosomes [J]. Mamm Genome, 1993, 4: 207–210.
- [6] STINNAKRE M G, VILLOTTE J L, SOULIER S, et al. Creation and phenotypic analysis of α -lactalbumin-deficient mice [J]. Proc Natl Acad Sci USA, 1994, 91: 6544–6548.
- [7] USHIDA Y, SHIMOKAWA Y, TOIDA T, et al. Bovine α -lactalbumin stimulates mucus metabolism in gastric mucosa [J]. J Dairy Science, 2007, 90: 541–546.
- [8] BAI W L, YIN R H, ZHENG Y C, et al. Cloning and molecular characterization of a yak α -lactalbumin cDNA from mammary tissue [J]. Livest Science, 2010, 129: 122–128.
- [9] 崔艳华, 马莺, 曲晓军, 等. 牦牛乳中 DNA 提取方法的建立与优化 [J]. 哈尔滨工业大学学报, 2011, 43(2): 1892–1895.
- [10] THOMPSON J D, GIBSON T J, PLEWNIAK F, et al. The clustalx windows interface: flexible strategies for multiple sequence alignment aided by quality analysis tools [J]. Nucl Acids Res, 1997, 24: 4876–4882.
- [11] PEER van der Y, WACHTER de R. TREECON for windows: a software package for construction and drawing of evolutionary trees for the microsoft windows environment [J]. Comput Appl Biosci, 1994, 10: 569–570.
- [12] BELL K, HOPPER K E, MCKENZIE H A. Bovine α -lactalbumin C and α_{s1} - β -, and κ -caseins of Bali (Banteng) cattle, *Bos (Bibos) javanicus* [J]. Aust J Biol Science, 1981, 34: 149–159.

(编辑 刘 彤)